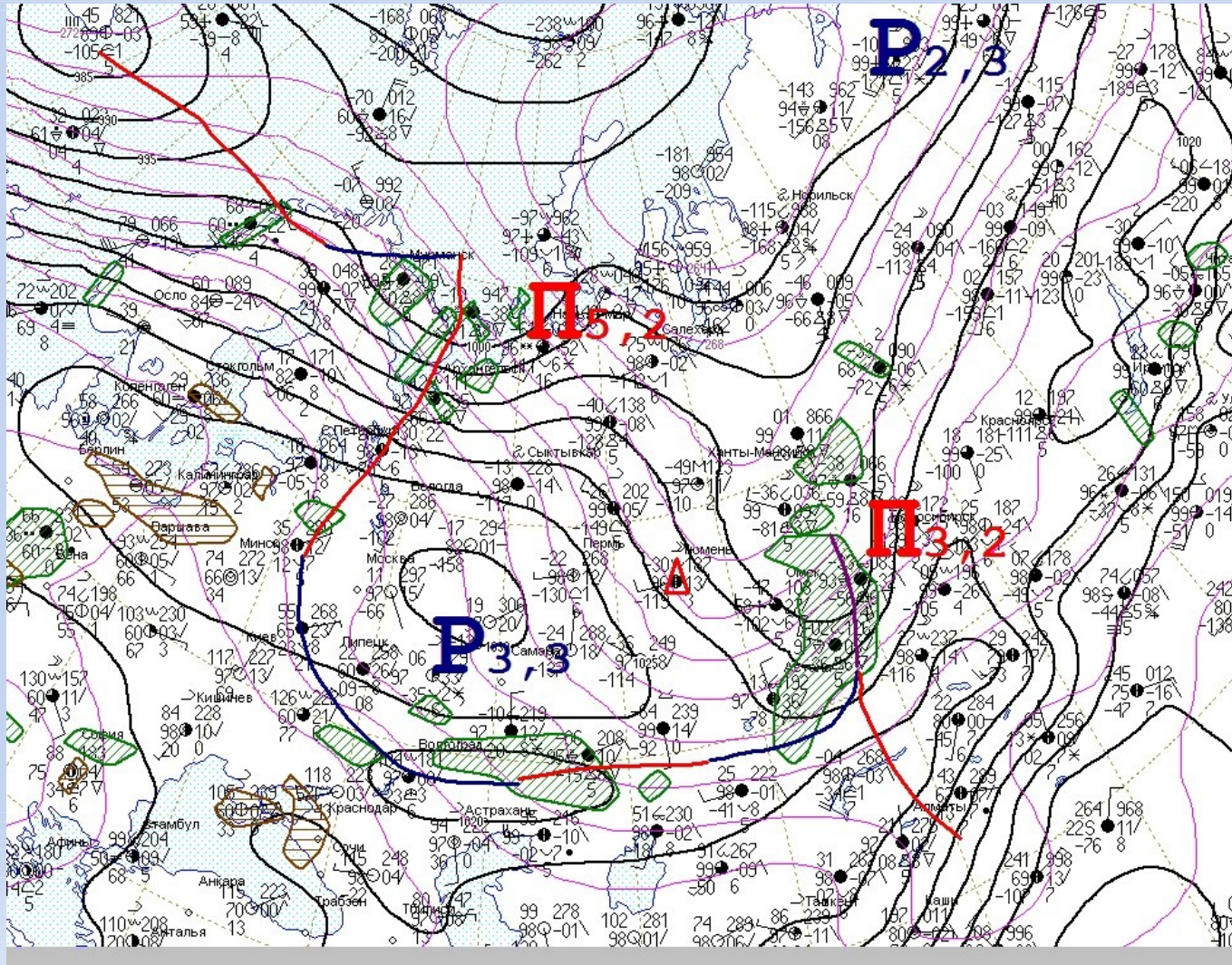


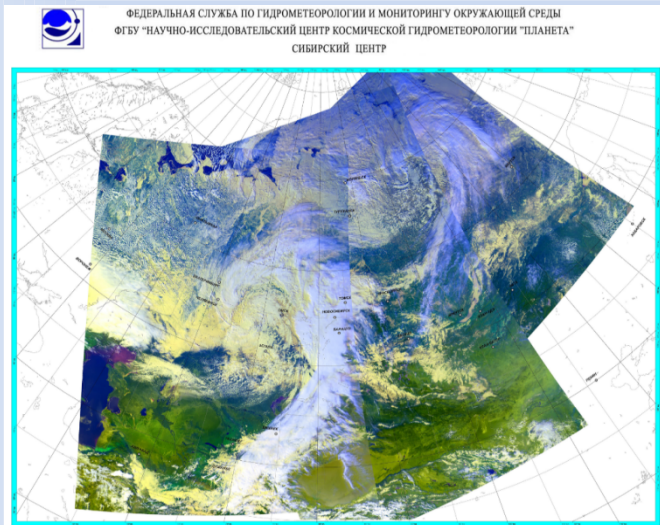
# Использование численных моделей и ГИС-технологий в практике авиационного прогнозирования

Ведущий синоптик АМЦ Тюмень Рощино  
ФГБУ «Обь-Иртышское УГМС»  
Злобина Лариса Леонидовна

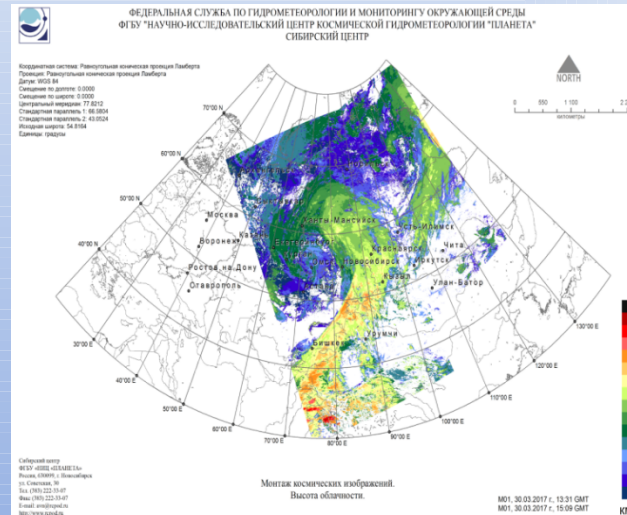
# Пример совмещения приземной карты и АТ-700



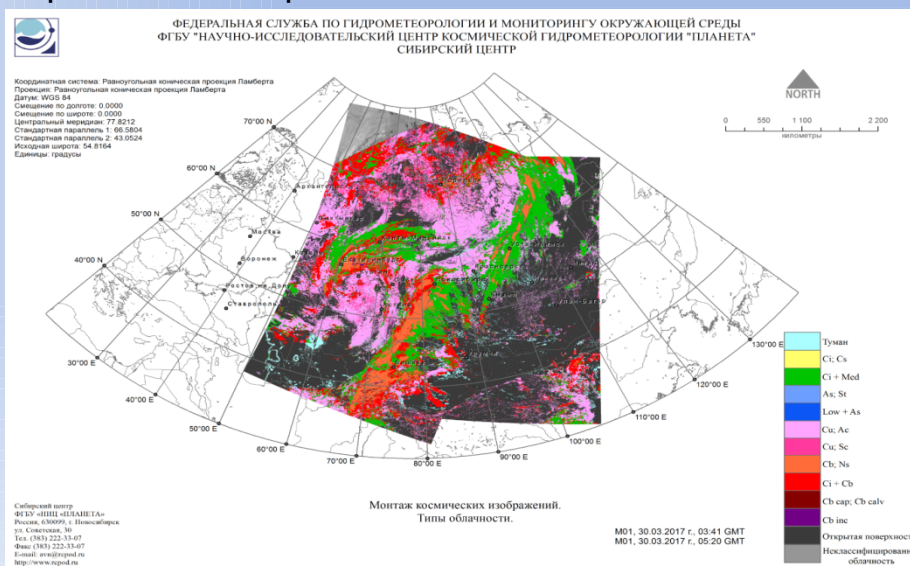
# Монтаж космических снимков



Цветосинтезированное изображение

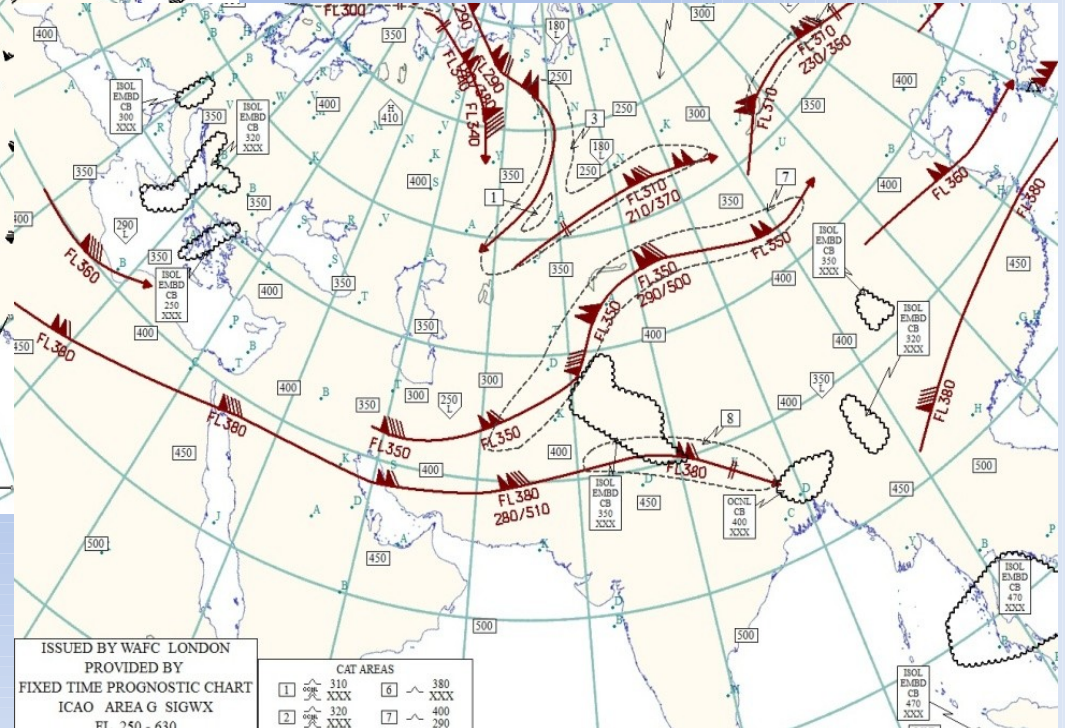
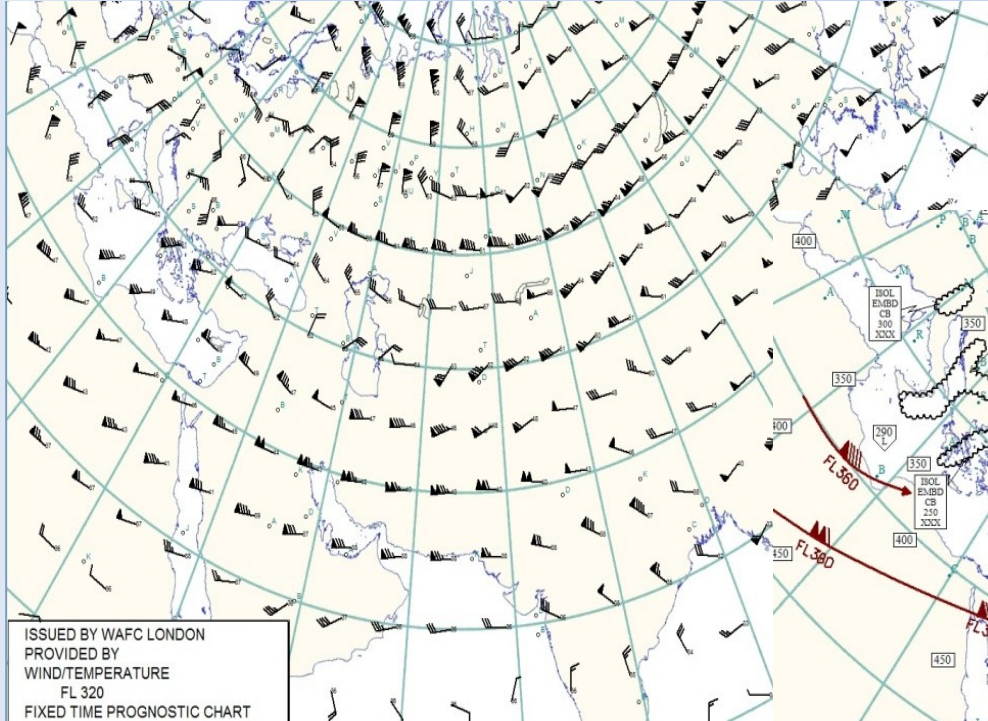


Высота облачности

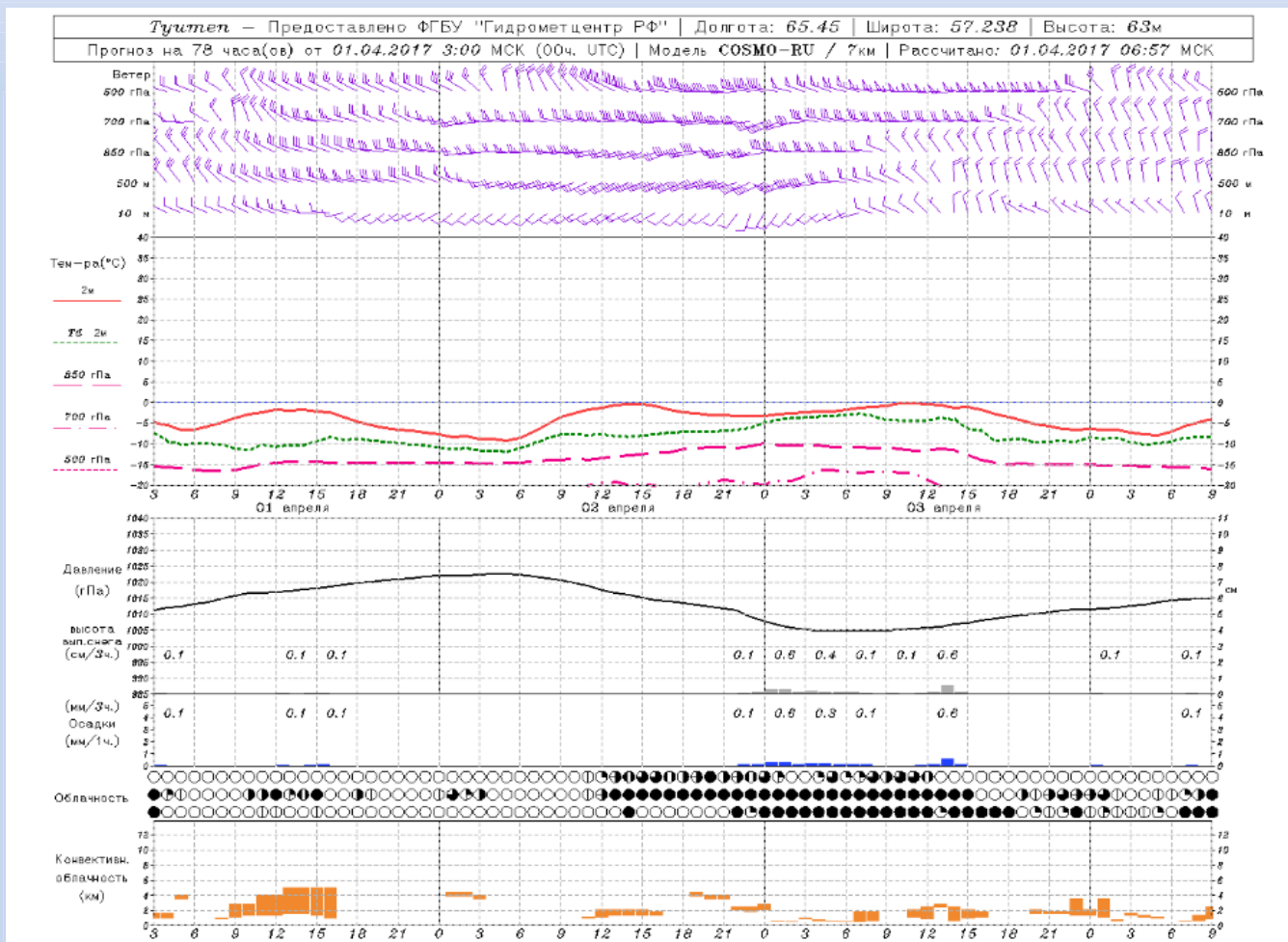


Типы облачности

# Продукция всемирного зонального центра прогнозов ИКАО (Лондон)



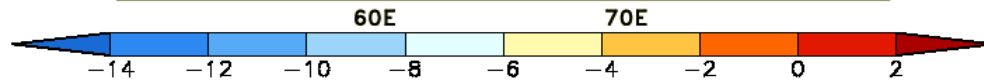
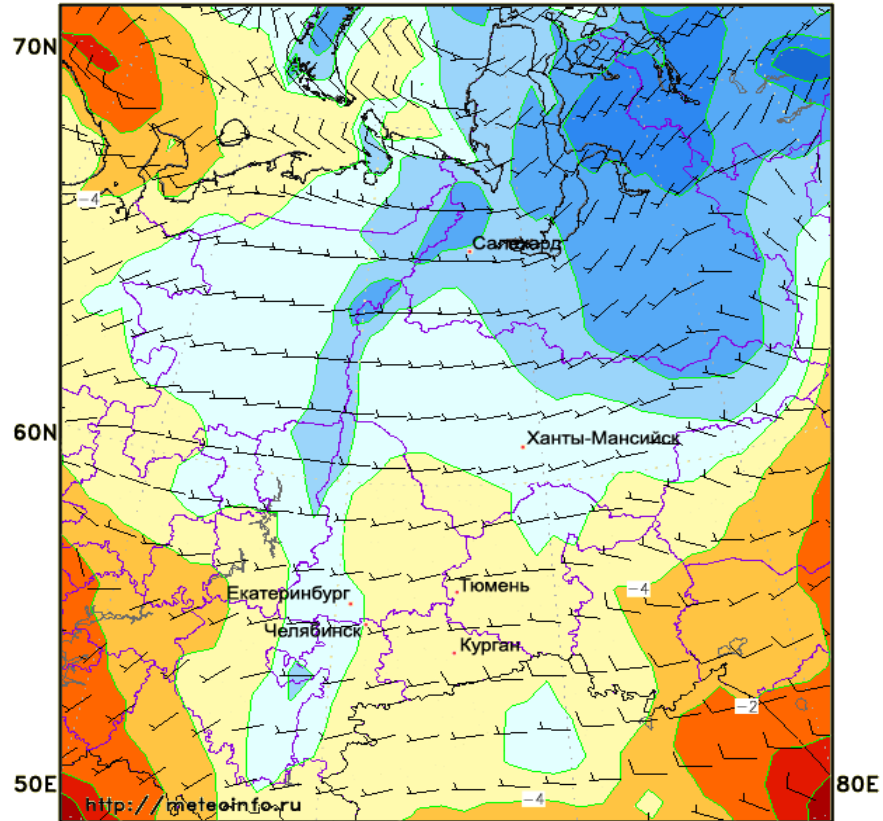
# Метеограмма Гидрометцентра России по мезомасштабной модели COSMO-RU07

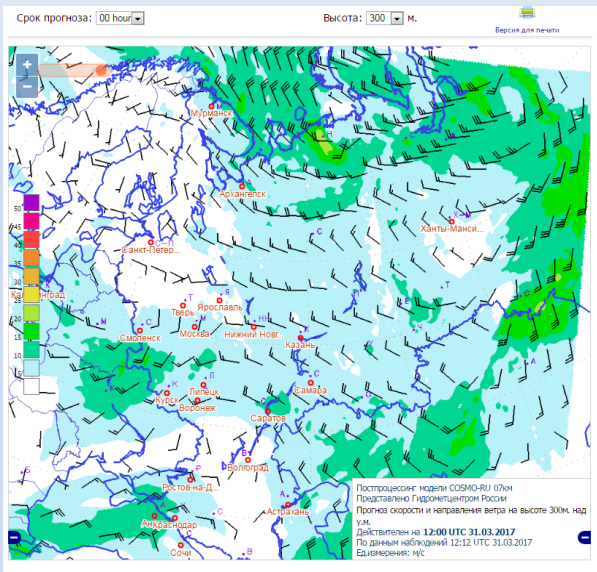


Общее количество наблюдений	Количество случаев с допустимым отклонением $\pm 20^\circ$	Количество случаев с отклонением $> 20^\circ$	Оправдываемость
1424	1182	342	83 %

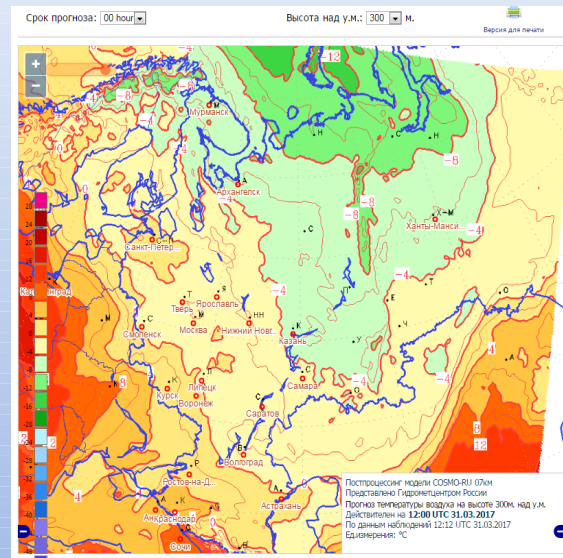
# Прогностическая карта метеорологических полей по результатам модели ПЛАВ Гидрометцентра России и ИВМ РАН

16:00 01.04.2017 (MCK) T2m and Wind 10m 01.04.2017 00 UTC + 012h

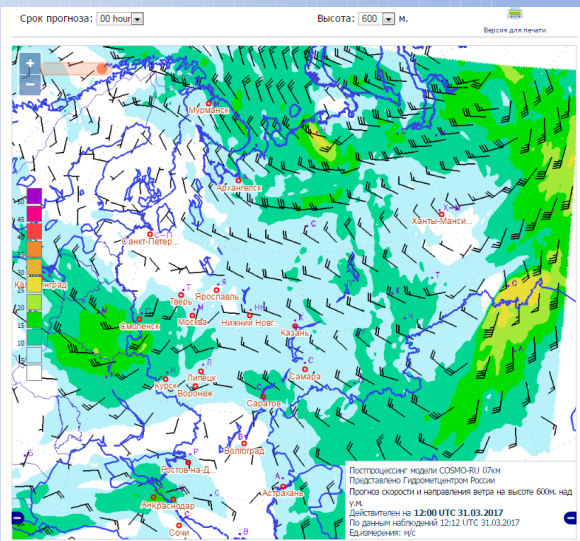




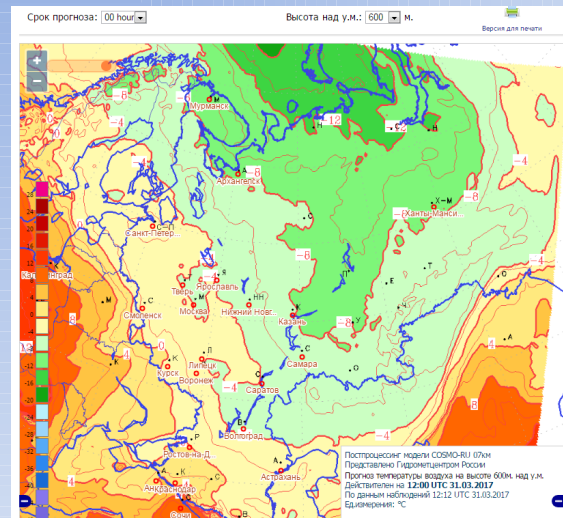
Прогноз скорости и направления ветра на высоте 300 м над у.м.



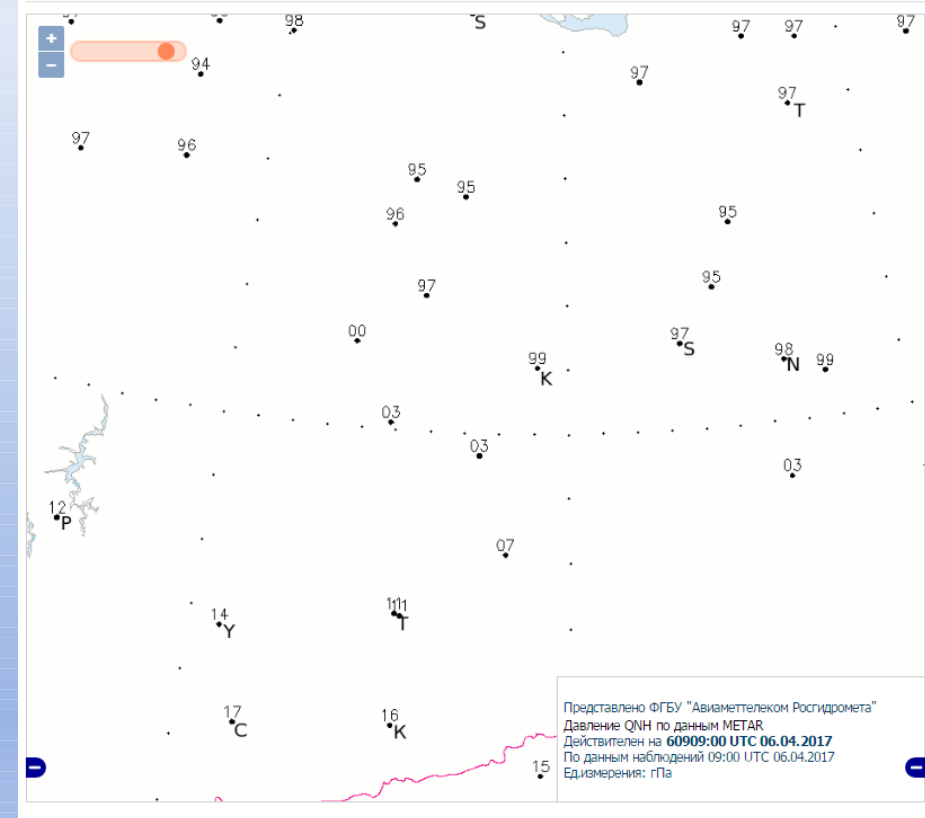
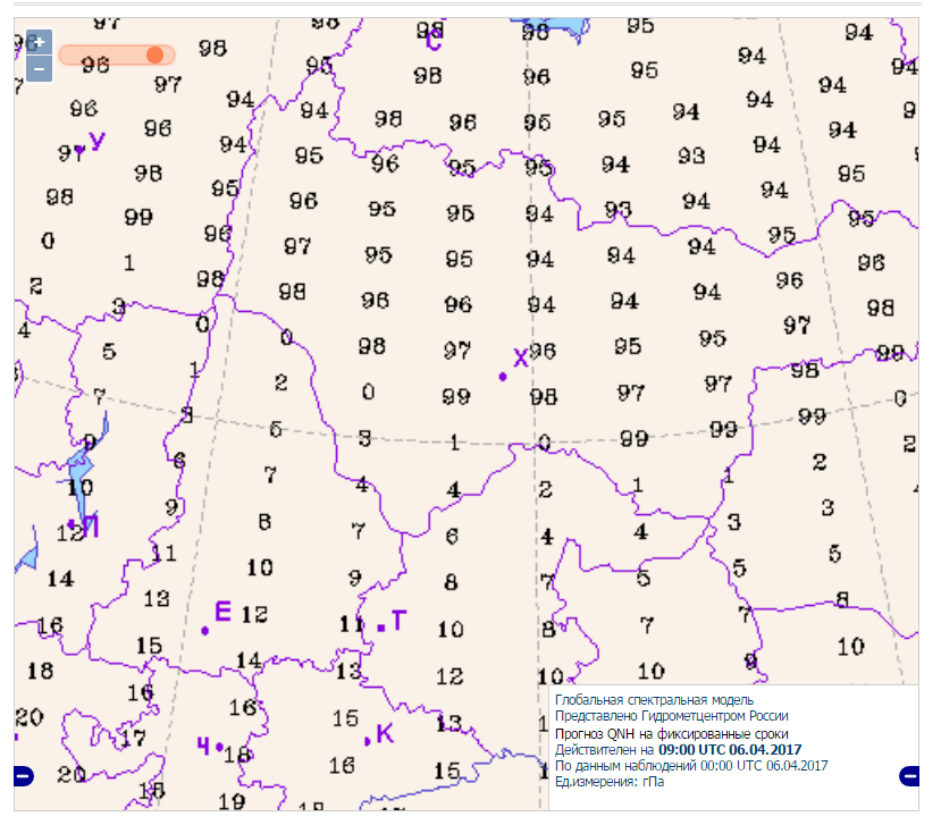
Прогноз температуры воздуха на высоте 300 м над у.м.



Прогноз скорости и направления ветра на высоте 600 м над у.м.



Прогноз температуры воздуха на высоте 600 м над у.м.

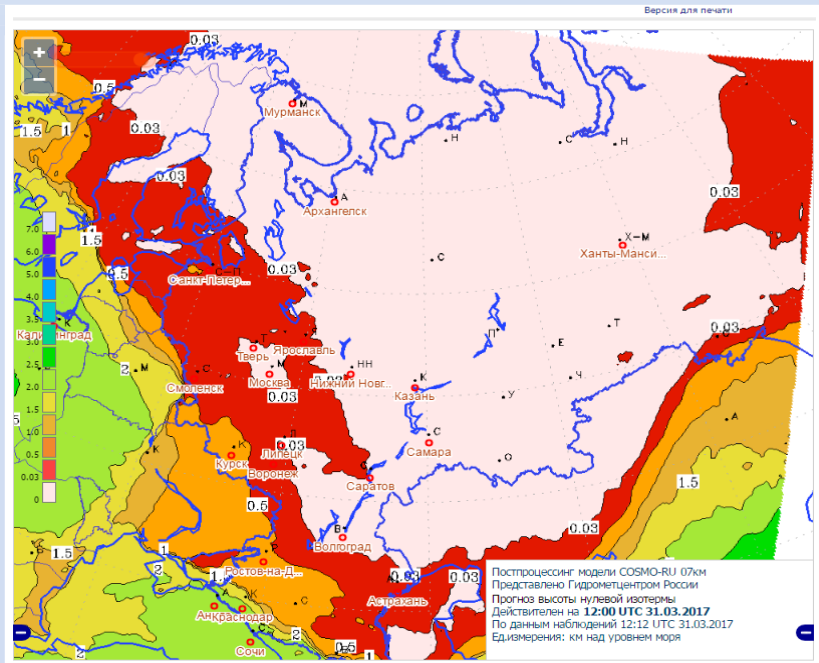


## Прогностические значения давления QNH на фиксированные сроки

## Фактические значения давления QNH на фиксированные сроки по данным METAR

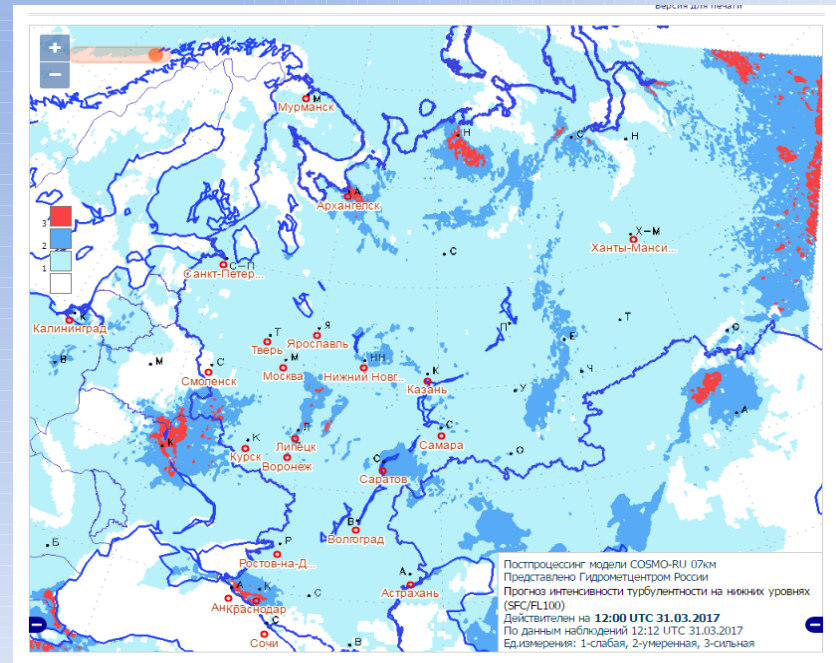
Общее количество наблюдений	Количество случаев точного попадания	Количество случаев завышения	Количество случаев занижения	Среднее отклонение, гПа	Абсолютное отклонение, гПа
96	21	33	42	1,21	3

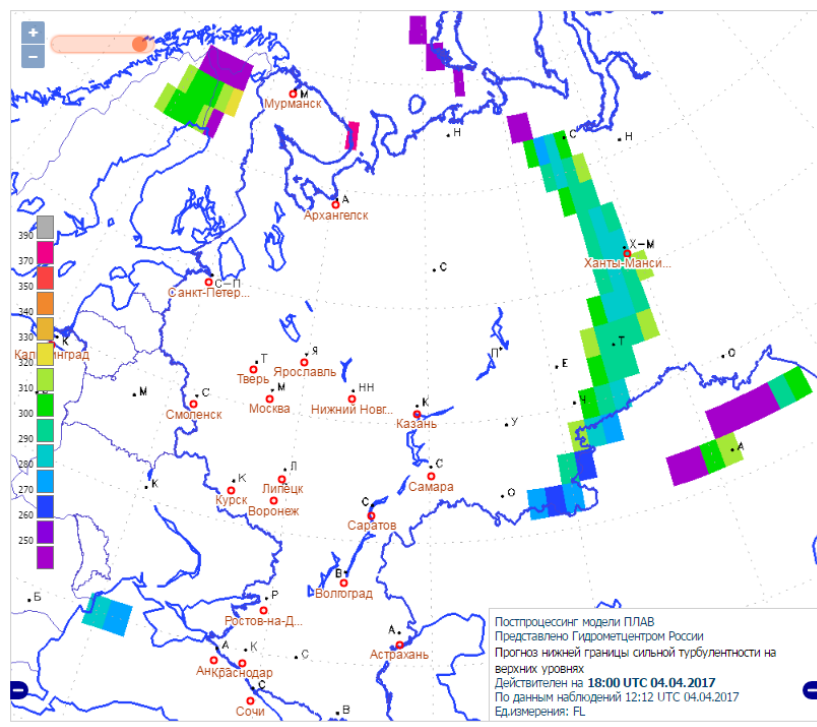




Прогноз высоты нулевой изотермы

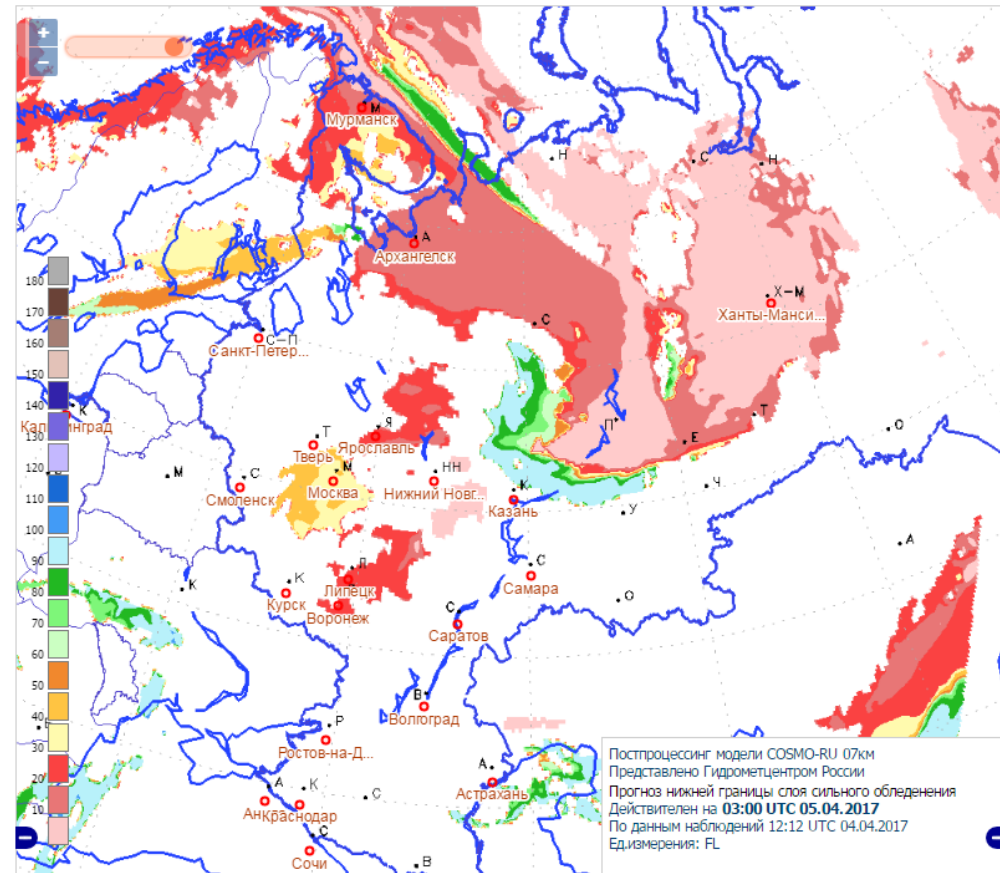
## Прогноз интенсивности турбулентности на нижних уровнях





Прогноз высоты нижней границы сильной турбулентности на верхних уровнях

Прогноз нижней границы слоя сильного обледенения



**Спасибо  
за  
внимани  
е!**